

# بررسی رفتار محوری ستون‌های بتنی محصورشده با دو لایه‌ی داخلی و خارجی GFRP

اصغر وطنی اسکوویی\* (دانشیار)

دانشکده‌ی مهندسی عمران، دانشگاه تربیت دبیر شهید رجایی

علی مشاطان (دانشجوی کارشناسی ارشد)

دانشکده‌ی مهندسی عمران، دانشگاه آزاد اسلامی، تاکستان

حسن آقامواتی (استادیار)

دانشکده‌ی مهندسی عمران، دانشگاه آزاد اسلامی، قزوین

مهمشنسی عمران شریف، (پیاپی ۱۳۹۸/۱۱)، (پادشاهی فصل ۱)، ص. ۱۱۱-۱۱۶، (پیاپی ۱۱)، (دوری ۲-۵)، شماره‌ی ۱/۱.

استفاده از الیاف FRP باعث افزایش مقاومت و شکل‌پذیری ستون‌های بتنی می‌شود. همچنین در صورت استفاده از لوله‌های ساخته شده از الیاف بسپاری GRP، علاوه بر مزایای ذکر شده و کاهش هزینه‌ی قالب‌بندی، امکان حذف میلگرد‌های ستون را نیز برآورده می‌کند. در پژوهش حاضر، با استفاده از روش اجزاء محدود و مدل‌سازی، به بررسی رفتار ستون‌های محصورشده با الیاف GFRP پرداخته شده است. در ابتدا، صحبت‌سنگی مدل‌سازی با استفاده از نتایج مطالعه‌ی آزمایشگاهی آنجام و مطابقت بین نتایج آزمایش و مدل‌سازی اجزاء محدود مشاهده، و سپس به بررسی پارامترهای تأثیرگذار در عملکرد ستون‌های محصورشده، همچون مقاومت فشاری بتن، شکل جداره‌های ستون پرداخته شده است. نتایج به دست آمده در قالب نمودارهای نیرو - تعییرمکان عمودی و کماش ستون استخراج و با هم مقایسه شده‌اند. نتایج نشان داده است که تعییرمکان خارج محور ستون با افزایش خروج از مرکزیت مقطع ستون افزایش یافته است.

asvatani@gmail.com  
a.mash69@gmail.com  
haghbarati@gmail.com

واژگان کلیدی: ستون بتنی تقویت شده، GFRP، روش اجراء محدود، محصورشده‌گی، شکل‌پذیری، تعییرمکان محوری.

## ۱. مقدمه

کاهش زمان اجرا و نیز کاهش هزینه‌های بالاسری و اتمام پروژه در زمان کوتاه‌تر است، که به دنبال آن بهره‌برداری زودتر و بازگشت سریع‌تر سرمایه را در پی خواهد داشت. انتخاب سیستم ساختمانی جدید قالب ماندگار FRP در اجرای دال طبقات و نیز عرضه‌ی پل‌ها می‌تواند نسبت به پل‌های رایج مسلح با فولاد، ۵۷٪ نیروی کار را کاهش و نیز راندمان و زمان بتن ریزی را ۷۶٪ افزایش دهد.<sup>[۱]</sup>

امروزه استفاده از مصالح نوین در ساخت سازه‌ها به منظور سبک‌سازی، افزایش کارایی و سرعت اجرا بسیار متداول شده است. درین مقطاع مركب، استفاده از مقاطع کامپوزیت بتن - پلیمری در سازه‌ی پل‌ها، اسکله‌های ساختمانی های بلند مرتبه، مزایای قابل توجهی دارد. همچنین استفاده از ستون‌های دوجداره‌ی پلیمری (لوله‌های پلیمری GFRP)، مزایایی از قبیل: بی‌نیازی به قالب‌بندی و میلگردگذاری، اثر محصورکنندگی متناسب پلیمرها، شکل‌پذیری و جذب انرژی بالا، سرعت ساخت و ساز بالا و ظرفیت باربری متناسب خواهد داشت.

یکی از زمان برترین فعالیت‌های عملیات اجرایی ساختمان‌ها و پل‌ها، قالب‌بندی و قالب‌برداری است که هزینه‌ی نیروی کار و سرمایه‌ی اولیه‌ی زیادی را نیز در بر می‌گیرد. انتخاب سیستم ساخت مناسب می‌تواند منجر به کاهش هزینه‌های حین ساخت، از جمله: هدررفتن مصالح، هزینه‌ی نیروی انسانی، سرمایه‌ی اولیه و تهیه و تدارک مصالح شود که این انتخاب قطعاً همراه با افزایش راندمان و سرعت اجرا،

\* نویسنده مسئول

تاریخ: دریافت ۱۲/۸/۱۳۹۴، اصلاحیه ۲۷/۱۰/۱۳۹۵، پذیرش ۲/۳۰/۱۳۹۶.

DOI:10.24200/J30.2018.1992.2055

**۲. مرور مطالعات انجام شده**  
در سال ۱۳۹۰<sup>[۲]</sup> در بررسی محصورشده‌گی ستون‌های بتنی با لوله‌های GFRP، ۴۵ ستون بتنی معمولی و پر مقاومت مخصوصاً محصورشده با ۵ نوع متفاوت FRP، آزمایش شدند. نتایج به دست آمده نشان داد که پوشش تقویتی، به طور قابل ملاحظه‌ی مقاومت و شکل‌پذیری ستون بتنی را بالا می‌برد و از اتساع جانبی آن جلوگیری می‌کند. همچنین مشخص شد که چسبندگی بین بتن و پوشش، تأثیر قابل توجهی در رفتار محصورشده‌گی ندارد.

عملکرد نمونه‌های بتنی استوانه‌یی با پوشش FRP از جنس‌های گوناگون و ابعاد

شکل ۱. ریختن بتن در داخل پروفیل GFRP.<sup>[۵]</sup>

فشاری آن می‌توان با رفتار خطی تقریب زد. این عدد یک مقدار میانگین است و جهت مقاصل طراحی استفاده می‌شود.<sup>[۷]</sup>  
گرچه در بیشتر نوشتارها، نقطه‌یی که بتن رفتارکشسان خود را از دست می‌دهد، عددی بین ۳۰ الی ۴۰ درصد مقاومت فشاری گزارش شده است. بتن در فالصلی ۵۰ الی ۷۵ درصد مقاومت فشاری خود دچار ترک‌های ریز می‌شود که مقادره از سختی اولیه‌ی آن کاهش می‌یابد. در برخی مواقع مشاهده شده است که سختی کاهش یافته، اختلاف چندانی با سختی اولیه ندارد و می‌شود همان مدل کشسانی (E<sub>c</sub>) را در فالصلی مذکور استفاده کرد. بعد از این مرحله، بتن با نشان دادن رفتار غیرکشسان از خود، بهشدت تغییرشکل می‌دهد. مقدار بیشینه‌ی مقاومت فشاری که بتن می‌تواند از خود نشان دهد (f<sub>c</sub>'') است. کرنش نظیر نقطه‌ی ذکرشده (ε<sub>0</sub>) برای بتن با مقاومت ۲۸ روزه‌ی آن (f<sub>c</sub>'') است. کرنش نظیر نقطه‌ی ذکرشده (ε<sub>0</sub>) برای بتن با مقاومت معمولی حدود ۲۰٪ تخمین زده می‌شود که از آنجا به بعد منحنی تنش - کرنش به صورت نزولی در می‌آید، تا اینکه گسیختگی در کرنش نهایی (ε<sub>cr</sub>) رخ می‌دهد. مقدار متوسط کرنش نهایی بتن در طراحی حدود ۳۰٪ فرض می‌شود.  
با توجه به توضیحات ذکرشده، می‌توان معادله‌ی رفتاری بتن در حالت فشار را که توسط هاگستاد ارائه شده است، به صورت رابطه‌ی ۱ نوشت:<sup>[۸]</sup>

$$f_c = f_c'' \left[ \frac{2\epsilon_c}{\epsilon_0} - \left( \frac{\epsilon_c}{\epsilon_0} \right)^2 \right] \quad (1)$$

که در آن  $k_c f_c' = k_c f_c''$  است و ضربی  $k_c$  را می‌توان برای بتن‌های با مقاومت فشاری استوانه‌یی متفاوت در نظر گرفت.<sup>[۸]</sup> برای ۶ در بیشتر مراجع رابطه‌ی ۲ پیشنهاد شده است که در آن  $\alpha$  ضریبی است که مقادار آن بین ۱/۷ الی ۱/۷ متغیر است. هاگستاد مقدار ۱/۸ را برای آن در نظر گرفته است ولی مقادار متداول آن ۲ است.<sup>[۸]</sup>

$$\epsilon_0 = \alpha \frac{f_c''}{E_c} \quad (2)$$

که در آن  $E_c$  مدل کشسانی بتن، بسته به نوع بتن، سن بتن، نوع و سرعت بارگذاری، خصوصیات اجراء بتن و درصد اختلاط متفاوت خواهد بود. ولی روابطی که برای مدل کشسانی بتن ارائه شده است، اغلبتابع وزن مخصوص و مقاومت ۲۸ روزه‌ی آن است (رابطه‌های ۳ و ۴):<sup>[۹]</sup>

$$E_c = 4700 \sqrt{f_c'} \quad (3)$$

$$E_c = 0.43 w_c^{1/5} \sqrt{f_c'} \quad (4)$$

که در آن‌ها، مقاومت ۲۸ روزه‌ی بتن بر حسب مگاپاسکال و  $w_c$  وزن مخصوص بتن برای بتن‌های معمولی است.

### ۲.۳. مدل‌های رفتاری بتن در کشش

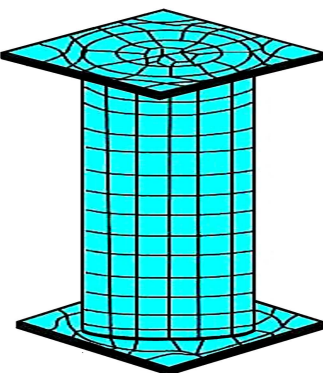
بتن به تنها قابلیت تحمل تنش‌های کششی، همانند مقاومت فشاری را ندارد و مقاومت کششی آن پایین است (حدود ۷ الی ۱۱ درصد مقاومت فشاری بتن) و عموماً برای جبران این مشکل از فولاد استفاده می‌کنند. پاسخ بتن در اثر کشش با آغاز بازشدن و گسترش ترک شروع می‌شود. بنابراین بررسی رفتار بتن نمی‌تواند با توجه به کرنش، کششی باشد و باید ترک بررسی شود. عکس العمل بتن تا لحظه‌یی که به مقاومت کششی خود (f<sub>ct</sub>) نرسیده است، به صورت خطی است که همراه با ترک‌های خیلی ریز است. با افزایش بارگذاری، مقاومت بهشدت پایین می‌آید و ترک‌ها گسترش می‌یابند، تا اینکه در کرنش نهایی (ε<sub>cr</sub>) گسیخته شود. مقادار کرنش

اتصال‌های مختلف در سال ۲۰۰۱<sup>[۲]</sup> با استفاده از روش اجزاء محدود و روش‌های عددی بررسی و نتیجه‌گیری شد که ظرفیت بارگذاری بتن محصورشده توسط خواص مکانیکی صفحه‌ی پوشاننده، مانند مدل کشسانی و ضربی پواسون کنترل می‌شود. همچنین یک معادله‌ی تحلیلی برای تخمین توزیع تنش برشی در ماده‌ی چسبنده برای هندسه‌های پوشش متفاوت پیشنهاد شد. در سال ۲۰۰۷<sup>[۱]</sup> رفتارستون‌های بتونی مستطبی تقویت شده با GFRP به صورت آزمایشگاهی بررسی و ۹ نمونه ستون بتونی آزمایش شدند. هدف از انجام پژوهش مذکور، بررسی مؤثر بودن استفاده از مقاوم‌سازی با GFRP برای ستون‌های بتونی مستطبی و نیز بررسی تأثیر تعداد لایه‌های GFRP در میزان بار نهایی و شکل‌پذیری ستون بتونی محصورشده بوده است. به علاوه تأثیر نسبت ابعاد ستون در محصورشدنگی آن مطالعه شد و نتایج نشان داد که طبق انتظار، استفاده از الیاف GFRP باعث افزایش مقاومت فشاری بتن محصورشده می‌شود. با افزایش تعداد لایه‌های GFRP، میزان بارگذاری و شکل‌پذیری بالاتری مشاهده و نتیجه‌گیری شد که نسبت ابعاد سطح مقطع (طول به عرض) ستون مستطبی، تأثیر قابل ملاحظه‌ی در مؤثر بودن استفاده از دورپیچ GFRP دارد. هر چه این نسبت بالاتر باشد، میزان ظرفیت بارگذاری ستون کمتر خواهد بود.  
همچنین در سال ۲۰۱۳<sup>[۵]</sup> رفتار خمشی تیرهای هیبریدی ساخته شده از مقاطع قوطی GFRP که با بتون پر شده بودند، به صورت آزمایشگاهی بررسی شد (شکل ۱). لذا در ابتدا خصوصیات GFRP با انجام آزمایش تعیین و سپس رفتار خمشی تیرهای هیبریدی ساخته شده با پروفیل‌های با شکل‌های گوناگون بررسی شده است. برای افزایش چسبندگی بین بتن و پروفیل، ذرات ماسه با استفاده از اپوکسی در سطح داخلی پروفیل‌های GFRP چسبانده شدند و نتایج پژوهش مذکور نشان داد که مقاومت خمشی و طاقت شکست (جدب انرژی) تیرهای هیبریدی به طور قابل ملاحظه‌ی افزایش یافته‌اند.  
در سال ۲۰۱۵<sup>[۴]</sup> نیز رفتار فشاری بتن محصورشده با پروفیل GFRP و دورپیچ‌های فولادی به صورت آزمایشگاهی بررسی و تعداد لایه‌های GFRP و نسبت حجمی آرماتور مطالعه شده است. نتایج پژوهش مذکور نشان داد که استفاده از ترکیب GFRP و دورپیچ فولادی به طور قابل ملاحظه‌ی مقاومت فشاری نهایی، ظرفیت اتلاف انرژی و شکل‌پذیری ستون بتونی را افزایش می‌دهد.

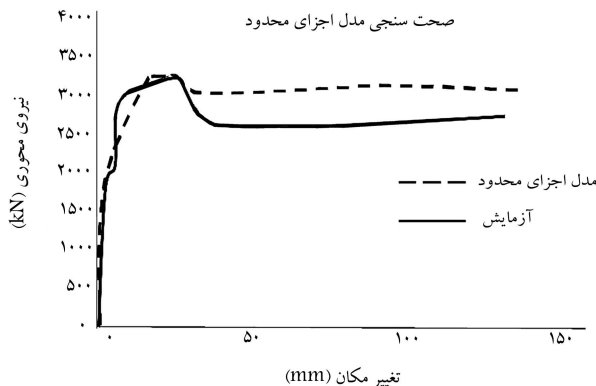
### ۳. مدل‌های رفتاری بتن

#### ۳.۱. مدل‌های رفتاری بتن در فشار

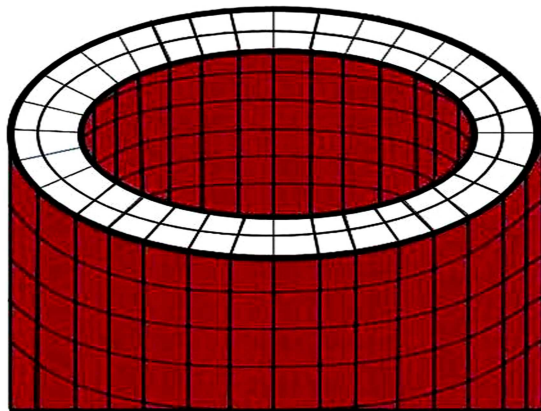
غیری شکل بتن تحت بارهای محوری توسط بررسی منحنی تنش - کرشن آن مشخص می‌شود. رفتار غیرخطی بتن تحت تنش فشاری با تشکیل تدریجی ترک‌ها شکل می‌گیرد، به طوری که هر چه تنش فشاری افزایش می‌یابد، مقدار ریزترک‌ها نیز افزایش خواهد یافت. با وجود این، رفتار بتن را تا تنش بیشینه‌ی ۵۰٪ مقاومت



شکل ۲. مدل اجزاء محدود.



شکل ۳. مقایسه نتایج مدل اجزاء محدود و آزمایش.



شکل ۴. مقطع ستون بتونی مدل شده دو لایه با GFRP در داخل و خارج.

آرماتوری جهت مسلح کردن تن مدل‌ها استفاده نشده است. صفحه‌ی تکیه‌گاه تمامی نمونه‌ها در هر سه جهت گیردار بود، ولی صفحه‌ی که تحت بار محوری بود، فقط در راستای  $x$  و  $z$  محدود بود و صفحه قابلیت حرکت در راستای  $y$  را داشته است. در شکل ۵، منحنی بار محوری در برابر تغییر مکان عمودی ستون قابل مشاهده است. همان‌طور که انتظار می‌رفت، با افزایش مقاومت فشاری بتون، ظرفیت نهایی ستون افزایش یافته است، که میزان آن با افزایش مقدار مقاومت فشاری متناسب است. نکته‌ی قابل توجه در منحنی‌های مذکور آن است که وقتی مقاومت بتون پایین است، تحلیل به دلیل بروز گسیختگی در لایه GFRP در تغییر مکان عمود ۳۸ میلی‌متری متوقف شده (شکل ۶) و مود خراشی به صورت بادکردگی خارج از صفحه بوده است که دلیل آن کوتاه بودن طول ستون (۲/۵ متر) بوده است. با افزایش

نهایی حدود ۱۰ الی ۱۲ برابر کرنش نظری مقاومت کشش ( $\varepsilon_{cr}$ ) بتون در نظر گرفته می‌شود. همچنین  $\varepsilon_{cr}$  حدود ۰/۰۰۰۰۱ الی ۰/۰۰۰۰۱ تخمین زده می‌شود. در بیشتر پژوهش‌ها، برای قسمت نرم شده از یک خط مستقیم یا هیبر بولیک استفاده شده است. به عنوان نمونه، رابطه‌ی ۵ را می‌توان برای المان‌های غشایی استفاده کرد:<sup>[۷]</sup>

$$f_t = f_{ct} \left( \frac{\varepsilon_{ct}}{\varepsilon_t} \right)^{0/4} \quad (5)$$

که در آن، مقدار ( $f_{ct}$ ) به صورت رابطه‌ی ۶ محاسبه می‌شود:

$$f_{ct} = 0/۳۱ \sqrt{f'_c} (Mpa) \quad (6)$$

#### ۴. شبیه‌سازی اجزاء محدود

برای انجام پژوهش حاضر از روش اجزاء محدود و برای ساخت و تحلیل مدل‌ها از نرم افزار اجزاء محدود استفاده شده است. برای اطمینان از دقت و صحبت پیش‌بینی مدل‌های ساخته شده با نرم افزار اجزاء محدود، از نتایج یک مطالعه‌ی آزمایشگاهی استفاده شده است.<sup>[۱۰]</sup> مدل‌های مشابه نمونه‌ی آزمایش شده با ابعاد هندسی و مشخصات مصالح کاملاً یکسان ساخته شده‌اند و تحت بارگذاری مشابه آزمایش مدل، تحلیل و نتایج آزمایش با پیش‌بینی‌های حاصل از تحلیل مدل‌ها مقایسه شده است. برای شبیه‌سازی بتون و تقویت از المان‌های جامد سه‌بعدی با ۸ گره استفاده شده است. مدل اجزاء محدود در شکل ۲ ارائه شده است.

#### ۱۰. بررسی نمونه‌ی آزمایشگاهی

با بررسی نتایج به دست آمده از نمونه‌ی آزمایشگاهی که در سال ۲۰۱۵ انجام شده است، نتایج هم خوانی متناسبی داشت (شکل ۳). نمونه‌ی انتخاب شده برای بررسی، نمونه‌ی ۴۰۰-۳-۲۵۰ CDSCS است که طول و قطر آن به ترتیب ۲/۵ متر و ۴۰ میلی‌متر، مدول کشسانی بتون ۳۰ مگاپاسکال، ضریب اصطکاک برابر ۰/۱ و ضخامت لایه‌ی تقویتی ۳ میلی‌متر بوده است.<sup>[۱۰]</sup>

نتایج حاصل از آزمایش و نتایج به دست آمده از روش اجزاء محدود در شکل ۳ با هم مقایسه شده‌اند که مشاهده می‌شود در پارامترهای شیب اولیه، مقاومت نهایی، و افت مقاومت، تطابق متناسبی بین مدل آزمایشگاهی و عددی وجود دارد. لذا می‌توان ذکر کرد که نتایج حاصل از مدل سازی اجزاء محدود، دقت متناسبی دارند.

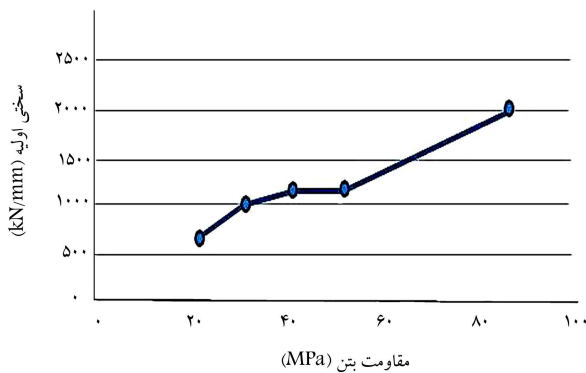
#### ۵. بررسی پارامترهای تأثیرگذار در ستون‌های دو جداره

##### GFRP

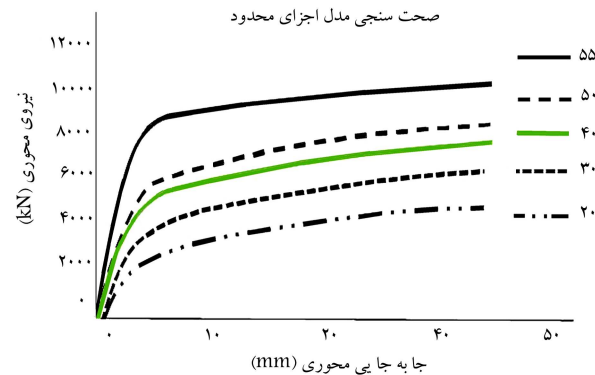
##### ۱.۵. بررسی تأثیر مقاومت فشاری بتون

در بخش حاضر، بتون‌هایی با مقاومت فشاری ۲۰، ۳۰، ۴۰، ۵۰ و ۸۵ مگاپاسکال استفاده شده‌اند. طول ستون ۲/۵ متر و قطر آن ۴۰ سانتی‌متر، ضخامت لایه‌های GFRP در داخل و خارج ستون دایروی شکل بتونی برابر ۳ میلی‌متر، مدول یانگ ۳۰ MPa و ضریب پواسون آن برابر ۱/۵ بوده است. ضخامت بتون ۷۷ میلی‌متر در نظر گرفته شده است (در شکل ۴، مقطع ستون مشاهده می‌شود).

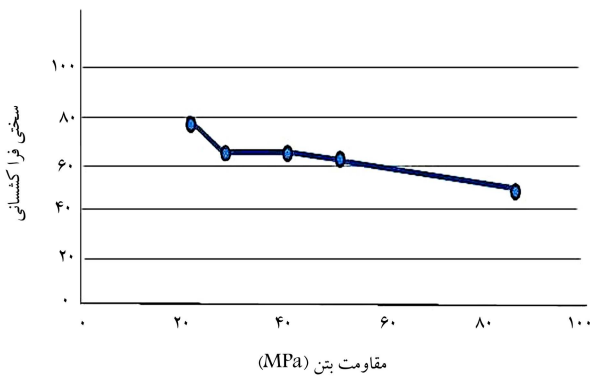
بار وارده بر ستون به صورت گستردگی بر روی صفحه‌ی صلب وارد شده است، به طوری که بر روی بتون و GFRP وارد می‌شود و برابر ۵۰۰۰ kN است و پیوستگی بتون با الیاف GFRP کامل در نظر گرفته شده است. این نذکر لازم است که از هیچ



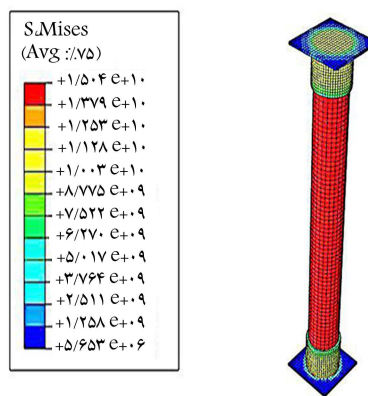
شکل ۷. تغییر سختی اولیه با مقواومت فشاری بتن.



شکل ۵. منحنی نیروی تغییر مکان.



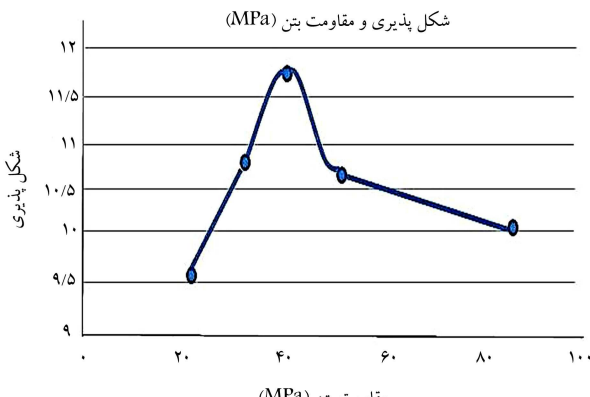
شکل ۸. تغییر شیب ثانویه با مقواومت فشاری بتن.



شکل ۶. رسیدن GFRP به تنش نهایی (۵۵۰۰ مگاپاسکال).

جدول ۱. مشخصات نمونه ها با مقواومت های مختلف بتن.

مقواومت بتن	بیشینه نیروی قابل تحمل نمونه (kN) (mm)	محوری (mm) جانبی (MPa)
۲۰	۵۱۰۶	۱/۵
۳۰	۶۰۳۴	۲/۱۵
۴۰	۶۷۵۴	۱/۹۸
۵۰	۷۲۲۶	۱/۹۴
۸۵	۹۷۷۹	۱/۹۵

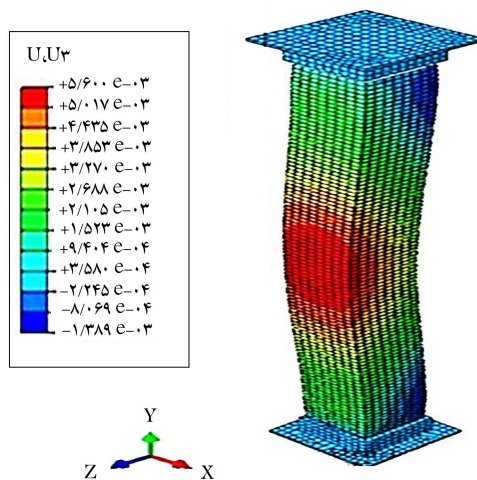


شکل ۹. تغییر شکل پذیری (نقسمی تغییر مکان نهایی بر تغییر مکان جاری شدن اولیه) با مقواومت فشاری بتن.

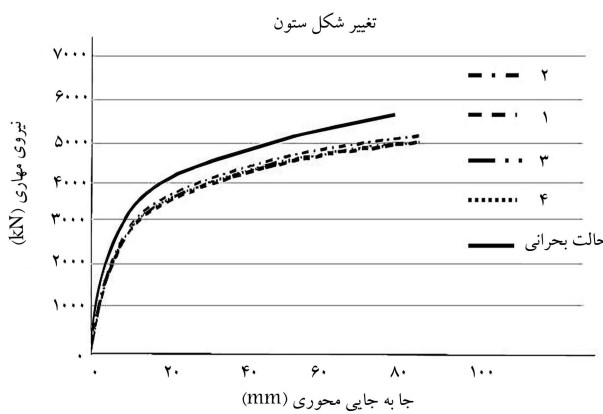
همچنین برای یک نیروی محوری معین و ثابت، افزایش بیشینه تغییر مکان خارج از صفحه ای ستون در بتن با مقواومت کمتر، بیشتر است پس ضرورت محصور کردن بتن مذکور بیشتر می شود.  
در ستون های دوجداره به دلیل خاصیت ترد و شکنندگی ناگهانی بتن، در مقاومت های بالا موجب کاهش شکل پذیری نمونه می شود و افزایش مقواومت فشاری بتن به هر اندازه برای بالابردن ظرفیت برابری و شکل پذیری (به دلیل وجود بار ناچیز جانبی به میزان  $N^{100}$  که به عنوان نقص هندسی وارد شده است) مناسب نیست.<sup>[۱۱]</sup>

در ابتدای بارگذاری، چون ترک در بتن ایجاد نشده است، رابطه بین تنش و از

مقاومت بتن و کاهش سهم GFRP در ایجاد محصور شدگی برای بتن آسیب دیده، خرازی در لایه GFRP دیرتر اتفاق می افتد. نتایج حاصل از مدل های مربوط به مقواومت بتن در جدول ۱ ارائه شده است.  
همان طور که انتظار می رفت، با افزایش مقواومت فشاری بتن، سختی اولیه و مقواومت نهایی ستون نیز افزایش یافته است (شکل ۷). همچنین با افزایش مقواومت فشاری بتن، شیب قسمت ثانویه منحنی کاهش یافته است، که دلیل آن کاهش شدیدتر مقواومت بتن در مقاومت های بالاتر پس از تنش نهایی بتن است (شکل ۸). با افزایش مدول کشسانی، سختی محوری نیز افزایش می یابد، درنتیجه شیب اولیه نمودار تنش - کرنش با افزایش مقواومت بتن افزایش یافته است (شکل ۷). بیشینه تغییر مکان خارج از صفحه ای ستون به زمان گسیختگی GFRP و به خردشدن بتن بستگی دارد که مقدار آن در جدول ۱ ارائه شده است.  
همچنین هر چقدر مقواومت بتن بیشتر می شود، رفتار آن تردد خواهد شد و از نمودارها واضح است که شکل پذیری آن هم از بتن معمولی کمتر است (شکل ۹).

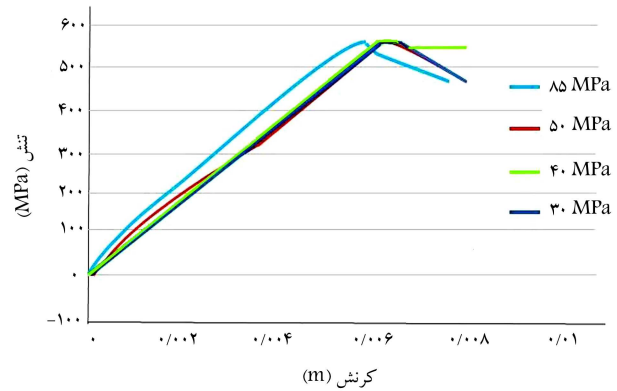


شکل ۱۱. کانتور تغییر مکان خارج از صفحه در جهت z (واحد اعداد موجود در کانتور تغییر مکان متر است).



شکل ۱۲. مقایسه‌ی منحنی نیرو - تغییر مکان نمونه‌ها.

ستون در حالتی که نیرو بدون خروج از مرکزیت اعمال می‌شود، نمودارها بر هم منطبق هستند (شکل ۱۲). دلیل این امر را می‌توان به سختی محوری ستون نسبت داد که چون همه‌ی مقادیر مذکور برای ستون‌ها مساوی هستند، نمودار نیرو - تغییر مکان آن‌ها بر هم منطبق است. فقط در مورد نمونه‌ی پنجم که سطح مقطعی حدود ۴۰٪ برابر سطح مقطع سایر نمونه‌ها داشته است، منحنی نیرو - تغییر مکان اندکی بالاتر از سایر نمونه‌ها بوده است. که این امر نشان‌دهنده‌ی تأثیر سطح مقطع در شکل نمودار است (شکل ۱۲). جدول ۲ بدان معنی است که هر چه ممان اینرسی مقطع مرکب بیشتر باشد، درنتیجه از لاغری ستون کاسته می‌شود و این امر باعث کاهش بیشینه‌ی تغییر مکان خارج از صفحه‌ی نمونه‌ها می‌شود. همچنین در نوشتاری در سال ۲۰۱۳<sup>[۱۱]</sup> در بررسی رفتار ستون‌های مرکب دولایه تحت اثر متقابل نیروی محوری، نتیجه‌گیری شده است که در ستون‌های مرکب دولایه برای سطح مقطع‌هایی برابر، تغییر شکل هندسی مقطع موجب تغییر زیاد در ظرفیت بازگشتی ستون نمی‌شود. اما در ایده‌آل‌ترین حالت، ستون مرکب دولایه با جداره‌ی بیرونی مربع و جداره‌ی داخلی گرد، بیشترین ظرفیت بازگشتی نهایی را دارد. همچنین شکل هندسی مقطع مرکب دولایه، تأثیر فراوانی در شکل پذیری ستون‌های مرکب دولایه دارد. ستون‌های مرکب دولایه با مقطع ترکیبی، شکل پذیری بهتری از خود نشان می‌دهند<sup>[۱۲]</sup> که این مطلب با توجه به نتایج بدست آمده در جدول ۲ هم خوانی دارد. با توجه به بند ۱۲.۱.۲ در آئین نامه‌ی ACI ۴۴۰.۲R-۰۸<sup>[۱۳]</sup>



شکل ۱۵. منحنی تنش - کرنش در لایه‌ی GFRP بیرونی در نمونه با مقاومت‌های مختلف بتن.

کرنش خطی است و با افزایش بار به مقدار بحرانی تنش و مقاومت بتن می‌رسد که با افزایش کوچکی در مقدار بار، تغییر شکل زیادی در نمونه ایجاد می‌شود که «در بیشتر موارد، معیار مقاومت ماده برای طراحی است».<sup>[۱۴]</sup> نقطه‌ی اوج منحنی به عنوان مقاومت نهایی و آخرین نقطه «تش شکست» به عنوان مقاومت شکست معروفی می‌شود. بعد از نقطه‌ی اوج، نیروی کمتری برای افزایش طول لازم است و در مدت کوتاهی، نمونه چار شکست می‌شود.

با توجه به شکل ۱۵، هر چه مقاومت نمونه‌ها افزایش یافته است، میران کرنش، کاهش و میران تنش، افزایش یافته است. از بررسی میران تغییر مکان خارج از صفحه‌ی هر کدام از نمونه‌ها، این نتیجه بدست آمده است که هر چه میران تغییر مکان خارج از صفحه‌ی نمونه‌ی بیشتر باشد، میران کرنش آن نمونه بیشتر است و میران تنش آن کاهش می‌یابد.

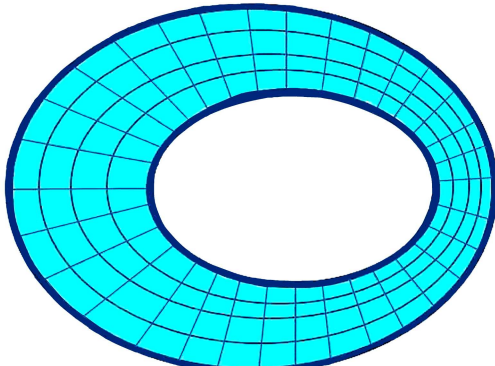
## ۲.۵ اثر شکل داخلی و خارجی مقطع ستون

در بخش کنونی، اثر شکل داخلی و خارجی مقطع ستون بررسی شده است، که شکل مقطع‌های داخلی: مربع، دایره و شش ضلعی و شکل مقطع‌های خارجی: مربع و دایره بوده است. این تذکر لازم است که مساحت قسمت بتنی تمامی نمونه‌ها برابر و معادل  $50\text{ cm}^2$  بوده است. با ترکیب موارد ذکرشده، ۵ نمونه ساخته و تحلیل شدند، که تحت بار محوری اعمال شده به صورت گستردگی و به مقدار  $50\text{ kN}$  قرار گرفتند. طول تمامی نمونه‌ها برابر  $45\text{ cm}$  و مقاومت بتن تمامی نمونه‌ها برابر  $30\text{ مگاپاسکال}$ ، مدول کشسانی GFRP برابر  $15\text{ Gpa}$  و ضریب پواسون آن برابر  $0.15$  بود. همچنین صفحه‌ی تکیه‌گاه تمامی نمونه‌ها در هر سه جهت گیردار بوده است، ولی صفحه‌ی که تحت بار محوری قرار داشت، فقط در راستای x و z محدود بود و صفحه قابلیت حرکت در راستای y را داشت.

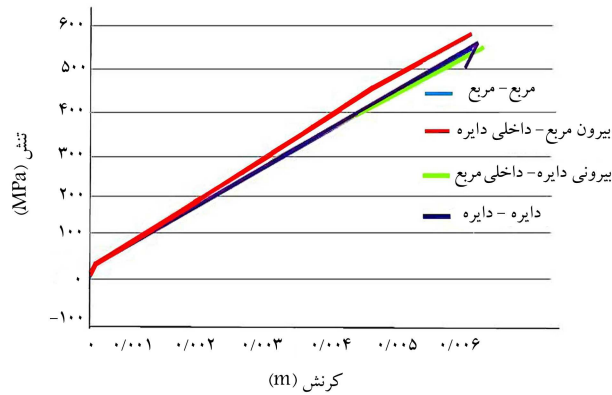
ممان اینرسی ستون با مقطع داخلی دایره و مقطع خارجی مربع با ممان اینرسی  $135\text{ cm}^4$ ، ستون با مقطع داخلی مربع و مقطع خارجی مربع با ممان اینرسی  $134\text{ cm}^4$ ، ستون با مقطع داخلی مربع و مقطع خارجی دایره با ممان اینرسی  $12\text{ cm}^4$ ، ستون با مقطع داخلی دایره و مقطع خارجی دایره دارای با ممان اینرسی  $11\text{ cm}^4$  است. این بدان معنی است که هر چه ممان اینرسی مقطع مرکب بیشتر باشد، از لاغری ستون کاسته می‌شود و این امر باعث کاهش بیشینه‌ی تغییر مکان خارج از صفحه‌ی نمونه‌ها می‌شود (شکل ۱۱). دلیل تأثیر لاغری در نمونه‌ها وجود بار جانبه‌ی ناچیز  $N_{Imperfection} = 1000$  که به عنوان Imperfection به سازه اعمال شده است. با مقایسه‌ی نتایج حاصل از تحلیل‌ها ملاحظه می‌شود که با تغییر شکل مقطع

جدول ۲. مشخصات نمونه‌ها با شکل مقاطع مختلف.

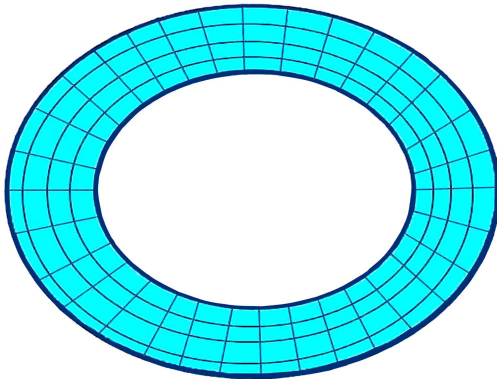
شکل مقاطع	میزان خروج از بیشینه‌ی نیروی قابل داخلي/خارجی	بیشینه‌ی تغیيرمکان محوری (mm)	تحمل نمونه (kN)	مرکزیت (mm)	بیشینه‌ی نیروی قابل داخلي/خارجی	میزان خروج از بیشینه‌ی تغییرمکان (mm)
دایره/دایره	°	۶۰۳۴	۴۳/۵	۱۳/۹۱		
دایره/مربع	۵	۶۰۹۵	۴۲/۴	۵/۲۶		
مربع/مربع	۱۰	۶۰۸۲	۴۰/۴	۵/۶		
مربع/دایره	۱۵	۶۰۴۶	۴۰	۹/۴۲		
شش ضلعی/دایره	۲۰	۶۱۳۴	۷۴/۳	۷/۸۳		



شکل ۱۴. نمونه بدون خروج از مرکزیت هندسی.



شکل ۱۳. منحنی تنش-کرنش در لایه‌ی GFRP بیرونی در نمونه با شکل مقاطع مختلف.



شکل ۱۵. نمونه با خروج از مرکزیت هندسی ۲۰ میلی‌متر.

به هم است (طبق جدول ۳)، پس نمی‌شد انتظار داشت که سختی نمودارها با هم تفاوت داشته باشند. همچنین با مقایسه‌ی منحنی نیرو - تغییرمکان نمونه‌ها در شکل ۱۶، مشاهده می‌شود که منحنی‌ها بر هم منطبق هستند و تغییر قابل ملاحظه‌ی در رفتار نیرو - تغییرمکان ستون در اثر ایجاد خروج از مرکزیت هندسی در مقاطع ستون ایجاد نشده است. دلیل این امر آن است که ایجاد خروج از مرکزیت هندسی باعث ایجاد تفاوت در ممان اینرسی می‌شود، ولی از آنجایی که بار به صورت محوری و بدون هیچ‌گونه خروج از مرکزیتی وارد شده است، سختی خمشی بی‌تأثیر است، و این امر باعث ایجاد تفاوت در شیب اولیه و مقاومت نهایی نمونه نمی‌شود. همچنین با افزایش خروج از مرکزیت هندسی (طبق جدول ۴)، میزان تغییرمکان خارج از صفحه افزایش می‌یابد. شیب اولیه و شکل پذیری نمونه‌ها با هم برابر است،

بیشینه‌ی تغییرمکان خارج از صفحه در مقاطع مختلف متفاوت است که دلیل آن تفاوت ممان اینرسی مقاطع مختلف است. به طور مثال، ممان اینرسی ستون با مقاطع داخلی محصورشدنگی توسط FRP در مقاطع مربعی با مستطیلی، باعث افزایش جزئی در مقاومت فشاری بتن می‌شود (شکل ۱۳). با توجه به شکل ۱۳ و بررسی میزان تغییرمکان خارج از صفحه‌ی هر کدام از نمونه‌ها، این نتیجه به دست آمد که هر چه میزان تغییرمکان خارج از صفحه‌ی نمونه‌ی بیشتر باشد، میزان کرنش آن نمونه بیشتر بوده و میزان تنش آن کاهش یافته است.

### ۳.۵. اثر خروج از مرکزیت هندسی شکل مقاطع

در بخش حاضر، اثر خروج از مرکزیت هندسی مقاطع ستون بررسی شده است. طول تمامی نمونه‌ها برابر ۶ متر، مقاومت بتن ۳۰ مگاپاسکال، و بار محوری اعمال شده به صورت گسترده و معادل ۵۰۰۰۰ kN برابر صفحه‌ی صلب وارد شده است. برای تعیین اثر خروج از مرکزیت هندسی ستون، ۵ نمونه در نظر گرفته شده است که خروج از مرکزیت هندسی دایره‌ی داخلی ستون نسبت به دایره‌ی خارجی در آن‌ها ۵، ۱۰، ۱۵ و ۲۰ میلی‌متر در نظر گرفته شده است (شکل‌های ۱۴ و ۱۵).

از نتایج جدول ۳ مشاهده می‌شود که با افزایش خروج از مرکزیت هندسی به میزان‌های ذکرشده، در بیشترین حالت فقط ۲٪ از ممان اینرسی کاسته می‌شود. که با توجه به این موضوع انتظار می‌رود که تغییر محسوسی در میزان کمانش خارج از صفحه‌ی ستون مشاهده نشود. همچنین از آنجا که ممان اینرسی مقاطع نزدیک

جدول ۳. میزان اینرسی مقاطع.

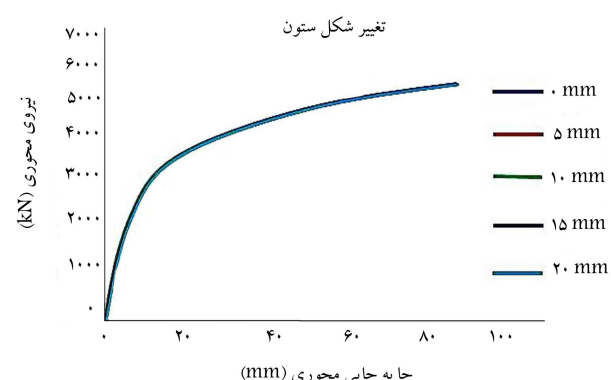
بر خروج $I$ از مرکزیت	با خروج از مرکزیت $I$ تقسیم	میان اینرسی ( $MM^4$ )	خروج از مرکزیت (mm)
۱	۱	۱۱۳۶۰۰۰۶۵۰	۰
۱	۱	۱۱۳۵۱۵۸۴۱۹	۵
۰,۹۹۳۵۹۲۶۵	۰,۹۹۷۱۵۲۲۸۹	۱۱۲۸۶۸۸۶۰۶	۱۰
۰,۹۸۸۶۰۹۱۵۵	۰,۹۹۷۱۵۲۲۸۹	۱۱۲۳۰۲۷۵۲۰	۱۵
۲۰	۲۰		۲۰

جدول ۴. مشخصات نمونه‌های با خروج از مرکزیت هندسی.

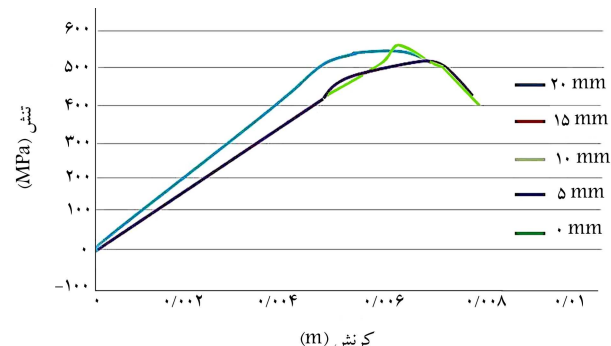
جهت خروج از مرکزیت هندسی (mm)	تحمل نمونه (kN)	محوری (mm)	بیشینه‌ی نیروی قابل جانبی (mm)	میزان خروج از مرکزیت
۰	۰	۵۷۷۳	۹۲	۲۴
۵	۵	۵۶۷۳	۸۶,۵۷	۴۱
۱۰	۱۰	۵۶۴۸	۸۵,۵	۴۵
۱۵	۱۵	۵۶۲۳	۸۵,۱۵	۵۲
۲۰	۲۰	۵۶۱۵	۸۳,۹۳	۵۴

تحمل بار و همچنین بیشترین میزان جایه‌جایی محوری را دارد. این موارد با افزایش خروج از مرکزیت لوله‌ها نسبت به هم کاهش می‌یابد. اما از آنجا که سختی محوری در همه‌ی نمونه‌ها ثابت است و به دلیل ناچیز بودن سختی خمشی که به میان اینرسی مربوط است و از آنجا که میزان اینرسی در مدل‌ها با خروج از مرکزیت‌های مختلف، تقاضت ناچیزی داشته‌اند، پس شیوه‌های اولیه و ثانویه‌ی نمودارها بر هم منطبق هستند.

بروز خروج از مرکزیت در مقاطع باعث افزایش کرنش در لایه‌ی GFRP و باعث کاهش تنش در همان لایه می‌شود. همچنین از بررسی میزان تغییرمکان خارج از صفحه‌ی هر کدام از نمونه‌ها نتیجه گرفته شده است که هر چه میزان تغییرمکان خارج از صفحه‌ی نمونه‌ی بیشتر باشد، میزان کرنش آن نمونه بیشتر بوده و میزان تنش آن کاهش یافته است.



شکل ۱۶. منحنی نیرو - تغییرمکان محوری ستون‌ها.



شکل ۱۷. منحنی تنش - کرنش در لایه‌ی GFRP بیرونی در نمونه‌های با خروج از مرکزیت.

۱. با افزایش مقاومت فشاری بتن، سختی اولیه و مقاومت نهایی ستون نیز افزایش می‌یابد.

۲. با افزایش مقاومت فشاری بتن، شیب قسمت ثانویه‌ی منحنی کاهش می‌یابد.

۳. ایده‌آل‌ترین حالت ستون مرکب دولایه، با جداره‌ی بیرونی مربع و جداره‌ی داخلی دایره‌بی است که بیشترین ظرفیت برابری نهایی را دارد.

۴. در اثر ایجاد خروج از مرکزیت، تغییری در رفتار نیرو - تغییرمکان ستون ایجاد نمی‌شود.

۵. میزان تغییرمکان خارج محور ستون با افزایش خروج از مرکزیت مقطع ستون افزایش یافته است.

که نشان می‌دهد خروج از مرکزیت هندسی مقطع ستون به اندازه‌ی که در پژوهش حاضر اعمال شده است، تأثیری در سختی اولیه و مقاومت نهایی و شکل‌بندیری ستون نداشته است. میزان تغییرمکان خارج محور ستون با افزایش خروج از مرکزیت هندسی مقطع ستون افزایش یافته است که دلیل آن را می‌توان ایجاد لنگر در ستون در اثر وجود خروج از مرکزیت در مقطع ستون دانست. با توجه به شکل ۱۷، نمونه بدون خروج از مرکزیت هندسی بیشترین ظرفیت

## منابع (References)

1. Ghanbari, M. and Ravanshadnia, M. "Using of permanent FRP mould in Slab floors and bridge decks with the aim of reinforcement during construction", *2th National Conference on Modern Material in Civil Engineering*, Esfahan-Iran (2014).
2. Shahawy, M., Mirmiran , A. and Beitelman, T. "Tests and modeling of carbon-wrapped concrete columns", *Composites: Part B*, **31**(6-7), PP. 471-480 (2000).
3. Lau, K.T. and Zhou, L.M. "The Mechanical behavior of composite- wrapped concrete cylinders subjected to uniaxial compression load", *Int. J. of Composite Structures*, **52**(2), pp.189-198 (2001).
4. Kumutha, R., Vaidyanathan, M.S. and Palanichamy, M.S. "Behavior of reinforced concrete rectangular column strengthened using GFRP", *Int. J. Cement & Concrete Composites*, **29**(8), pp. 609-615 (2007).
5. Aydin, F. and, Saribiyik, M. "Investigation of flexural behaviors of hybrid beams formed with GFRP box section and concrete", *Construction and Building Materials*, **41**, pp. 563-569 (2013).
6. Huang, L., Sun, X. Yan, L. and et al. "Compressive behavior of concrete confined with GFRP tube sand steel spirals", *Int. J. of Polymers*, **7**, pp. 851-875 (2015).
7. Kent, D.C. and Park, R. "Flexural members with confined concrete", *Journal of the Structural Division, Proc. of the American Society of Civil Engineers*, **97**(ST7), pp. 969-1990 (1971).
8. Hognestad, E. "A study on combined bending and axial load in reinforced concrete members", Univ. of Illinois Engineering Experiment Station, Univ. of Illinois at Urbana-Champaign, IL, pp. 43-46 (1951).
9. ACI 318-11, Building Code Requirements for Structural Concrete and Commentary (2011).
10. Chen, J., Ni, Y. and Jin, W. "Column tests of dodecagonal section double skin concrete-filled steel tubes", *Thin-Walled Structures*, **88**, pp. 28-40 (2015).
11. Abedi, k. "Investigating of structural behavior of CFDT columns filled with concrete", *Int. J. of Civil Engineering*, **44**(5), pp. 635-664 (2011).
12. Lotfoallahi yaghin, M.A. "Investigating of CFDT column Under effect of axial force and bending moment", *Int. J. of Modeling in Engineering*, **31**, pp. 15-23 (2013).
13. Talaeeitaba, S.M., Halabian, M. and Torki, M.E. "Non-linear behavior of FRP-reinforced concrete-filled double-skin tubular columns using finite element analysis", *Thin-Walled Structures*, **95**, pp. 389-407 (2015).
14. ACI 440.2R-08, Guide for the design and construction of externally bonded FRP systems for strengthening concrete structures (2008).